



Universidade Estadual de Campinas
Faculdade de Engenharia Mecânica
Departamento de Mecânica Computacional



Método Newmark

Trabalho da disciplina de pós - graduação IM566A, referente a atividade 05, enviado na data 29 de setembro de 2025.

Discente: Me. Wanderson Vinicius de Oliveira Monteiro

Docente: Prof. Dr. Alberto Luiz Serpa

Campinas - SP
29 de setembro de 2025

SUMÁRIO

1	Método de Newmark	2
1.1	Problema	2
1.2	Referencial teórico	2
1.3	Pseudo-código do Método de Newmark	4
1.4	Resultados	5
1.5	Rotina em Matlab	6
2	Conclusão	9
	Referências	10

1 Método de Newmark

1.1 Problema

Implementar o método de Newmark. Testar com o exemplo 8.4 do livro do Bathe & Wilson.

1.2 Referencial teórico

O método de Newmark é uma extensão do método linear, assumindo a velocidade e deslocamento da forma:

$$\dot{\mathbf{U}}_{t+\Delta t} = \dot{\mathbf{U}}_t + [(1-\delta)\ddot{\mathbf{U}}_t + \delta\ddot{\mathbf{U}}_{t+\Delta t}] \Delta t \quad (1.1)$$

$$\mathbf{U}_{t+\Delta t} = \mathbf{U}_t + \dot{\mathbf{U}}_t \Delta t + \left[\left(\frac{1}{2} - \alpha \right) \ddot{\mathbf{U}}_t + \alpha \ddot{\mathbf{U}}_{t+\Delta t} \right] \Delta t^2 \quad (1.2)$$

com α e δ parâmetros que são escolhidos para obter a precisão e a estabilidade do algoritmo.

se $\delta = \frac{1}{2}$ e $\alpha = \frac{1}{6}$ se torna o método da aceleração linear (Wilson - θ), com $\theta = 1$. Para $\delta = \frac{1}{2}$ e $\alpha = \frac{1}{4}$ se torna o método da aceleração média (Figura 1.1)

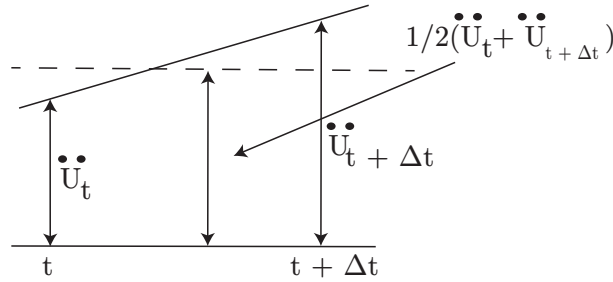


Figura 1.1: Newmark - Aceleração constante.

A Equação de equilíbrio para $t + \Delta t$ é dada por:

$$[\mathbf{M}]\ddot{\mathbf{u}}_{t+\Delta t} + [\mathbf{C}]\dot{\mathbf{u}}_{t+\Delta t} + [\mathbf{K}]\mathbf{u}_{t+\Delta t} = \mathbf{R}_{t+\Delta t} \quad (1.3)$$

Da equação (1.2) temos:

$$\begin{aligned} \mathbf{u}_{t+\Delta t} - \mathbf{u}_t - \dot{\mathbf{u}}_t \Delta t &= \left[\left(\frac{1}{2} - \alpha \right) \ddot{\mathbf{u}}_t + \alpha \ddot{\mathbf{u}}_{t+\Delta t} \right] \Delta t^2 \\ \ddot{\mathbf{u}}_{t+\Delta t} &= \frac{1}{\alpha} \left[\mathbf{u}_{t+\Delta t} - \frac{1}{\Delta t^2} (\mathbf{u}_{t+\Delta t} - \mathbf{u}_t) - \left(\frac{1}{2} - \alpha \right) \ddot{\mathbf{u}}_t \right] \end{aligned} \quad (1.4)$$

Substituindo a equação (1.4) na equação (1.1):

$$\dot{\mathbf{u}}_{t+\Delta t} = \left(1 - \frac{\delta}{\alpha} \right) \dot{\mathbf{u}}_t + \left(1 - \frac{\delta}{2\alpha} \right) \Delta t \ddot{\mathbf{u}}_t + \frac{\delta}{\alpha \Delta t} \mathbf{u}_{t+\Delta t} - \frac{\delta}{\alpha \Delta t} \mathbf{u}_t \quad (1.5)$$

Retornando para a equação de movimento, temos:

$$\begin{aligned} & \left([M] \frac{1}{\alpha \Delta t^2} + [C] \frac{\delta}{\alpha \Delta t} + [K] \right) \mathbf{u}_{t+\Delta t} = \mathbf{R}_{t+\Delta t} \\ & + [M] \left(\frac{1}{\alpha \Delta t^2} \mathbf{u}_t + \frac{1}{\alpha \Delta t} \dot{\mathbf{u}}_t + \left(\frac{1}{2\alpha} - 1 \right) \ddot{\mathbf{u}}_t \right) \\ & + [C] \left(\frac{\delta}{\alpha \Delta t} \mathbf{u}_t + \left(\frac{\delta}{\alpha} - 1 \right) \dot{\mathbf{u}}_t + \frac{\Delta t}{2} \left(\frac{\delta}{\alpha} - 2 \right) \ddot{\mathbf{u}}_t \right) \end{aligned} \tag{1.6}$$

1.3 Pseudo-código do Método de Newmark

Algorithm 1 Método de Newmark

- 1: **Iniciar:** Matrizes $[\mathbf{K}]$, $[\mathbf{M}]$, $[\mathbf{C}]$, vetor de carga $\mathbf{R}(t)$, deslocamento inicial \mathbf{u}_0 , velocidade inicial \mathbf{v}_0 , aceleração inicial \mathbf{a}_0 , passo de tempo Δt , tempo inicial t_0 , tempo final t_f , parâmetros de Newmark δ, α
- 2: Criar vetor de tempo: $t = t_0 : \Delta t : t_f$
- 3: Calcular constantes:

$$\begin{aligned} a_0 &= \frac{1}{\alpha \Delta t^2}, & a_1 &= \frac{\delta}{\alpha \Delta t}, & a_2 &= \frac{1}{\alpha \Delta t}, \\ a_3 &= \frac{1}{2\alpha} - 1, & a_4 &= \frac{\delta}{\alpha} - 1, & a_5 &= \frac{\Delta t}{2} \left(\frac{\delta}{\alpha} - 2 \right), \\ a_6 &= \Delta t(1 - \delta), & a_7 &= \delta \Delta t \end{aligned}$$

- 4: Calcular matriz de rigidez efetiva:

$$[\mathbf{K}_e] = [\mathbf{K}] + a_0[\mathbf{M}] + a_1[\mathbf{C}]$$

- 5: **Inicialização:**

$$\mathbf{u}_t(:, 1) = \mathbf{u}_0, \quad \mathbf{v}_t(:, 1) = \mathbf{v}_0, \quad \mathbf{a}_t(:, 1) = \mathbf{a}_0$$

- 6: **for** $i = 1$ **to** $N_{\text{passos}} - 1$ **do**

- 7: Calcular força efetiva:

$$\begin{aligned} \mathbf{R}_{\text{eff}}(:, i+1) &= \mathbf{R}(:, i+1) \\ &\quad + [\mathbf{M}] (a_0 \mathbf{u}_t(:, i) + a_2 \mathbf{v}_t(:, i) + a_3 \mathbf{a}_t(:, i)) \\ &\quad + [\mathbf{C}] (a_1 \mathbf{u}_t(:, i) + a_4 \mathbf{v}_t(:, i) + a_5 \mathbf{a}_t(:, i)) \end{aligned}$$

- 8: Resolver deslocamento:

$$\mathbf{u}_t(:, i+1) = [\mathbf{K}_e]^{-1} \mathbf{R}_{\text{eff}}(:, i+1)$$

- 9: Atualizar aceleração:

$$\mathbf{a}_t(:, i+1) = a_0 (\mathbf{u}_t(:, i+1) - \mathbf{u}_t(:, i)) - a_2 \mathbf{v}_t(:, i) - a_3 \mathbf{a}_t(:, i)$$

- 10: Atualizar velocidade:

$$\mathbf{v}_t(:, i+1) = \mathbf{v}_t(:, i) + a_6 \mathbf{a}_t(:, i) + a_7 \mathbf{a}_t(:, i+1)$$

- 11: **end for**

- 12: **Resultado:** Retornar $\mathbf{u}_t, \mathbf{v}_t, \mathbf{a}_t$
-

1.4 Resultados

Calcule a resposta do deslocamento do sistema considerado nos Exemplos 8.1 ao 8.3 para o método de Newmark. Use $\alpha = 0.25$ e $\delta = 0.5$.

$$\begin{bmatrix} 2 & 0 \\ 0 & 1 \end{bmatrix} \begin{Bmatrix} \ddot{U}_1 \\ \ddot{U}_2 \end{Bmatrix} + \begin{bmatrix} 6 & -2 \\ -2 & 4 \end{bmatrix} \begin{Bmatrix} U_1 \\ U_2 \end{Bmatrix} = \begin{Bmatrix} 0 \\ 10 \end{Bmatrix} \quad (1.7)$$

Considerando o primeiro caso para $\Delta t = 0.28 \text{ s}$, temos para os primeiros 12 passos; a comparação entre os resultados obtidos pelo script em MATLAB e pela referência (BATHE; WILSON, 1976).

Tabela 1.1: Comparação entre os resultados $\Delta t = T/10$.

Time	Δt	$2\Delta t$	$3\Delta t$	$4\Delta t$	$5\Delta t$	$6\Delta t$	$7\Delta t$	$8\Delta t$	$9\Delta t$	$10\Delta t$	$11\Delta t$	$12\Delta t$
U_t - Bathe	0.00673	0.0504	0.189	0.485	0.961	1.58	2.23	2.76	3.00	2.85	2.28	1.40
	0.364	1.35	2.68	4.00	4.95	5.34	5.13	4.48	3.64	2.90	2.44	2.30
U_t - Wand.	0.0067	0.0504	0.1894	0.4846	0.9613	1.5805	2.2328	2.7607	3.0035	2.8505	2.2840	1.3968
	0.3637	1.3510	2.6833	3.9954	4.9497	5.3366	5.1296	4.4781	3.6424	2.8967	2.4352	2.3129

Observa-se que a Tabela 1.1 apresenta concordância entre o código implementado e a referência, com diferenças apenas na quarta casa decimal. Essa proximidade confirma a consistência da implementação numérica.

Agora, considerando um $\Delta t = 28 \text{ s}$, temos:

Tabela 1.2: Comparação entre os resultados $\Delta t = T/10$.

Time	Δt	$2\Delta t$	$3\Delta t$	$4\Delta t$	$5\Delta t$	$6\Delta t$	$7\Delta t$	$8\Delta t$	$9\Delta t$	$10\Delta t$	$11\Delta t$	$12\Delta t$
U_t - Bathe	1.99	0.028	1.94	0.112	1.82	0.248	1.67	0.429	1.47	0.648	1.23	0.894
	5.99	0.045	5.99	0.177	5.72	0.393	5.47	0.685	5.14	1.04	4.76	1.45
U_t - Wand.	1.9929	0.0284	1.9364	0.1124	1.8259	0.2480	1.6666	0.4293	1.4655	0.6478	1.2320	0.8937
	5.9888	0.0447	5.8998	0.1773	5.7248	0.3931	5.4700	0.6847	5.1441	1.0420	4.7584	1.4529

Novamente, para um $\Delta t = 28.0 \text{ s}$, temos a concordância entre os resultados da referência e a rotina implementada em MATLAB.

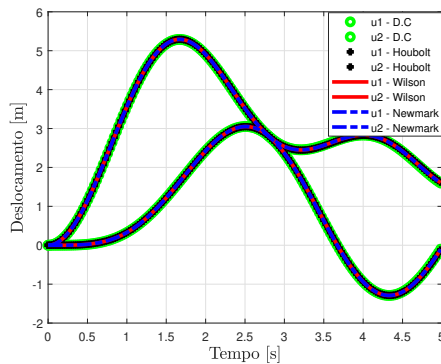
Alterando as condições iniciais, fazendo $\ddot{U}_0 = \{0 \ 0\}^T$, temos os resultados:

Tabela 1.3: Comparação entre os resultados $\Delta t = T/10$.

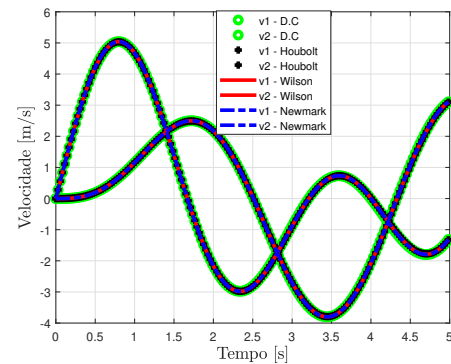
Time	Δt	$2\Delta t$	$3\Delta t$	$4\Delta t$	$5\Delta t$	$6\Delta t$	$7\Delta t$	$8\Delta t$	$9\Delta t$	$10\Delta t$	$11\Delta t$	$12\Delta t$
U_t - Bathe	0.363	1.44	0.632	1.29	0.782	1.17	0.875	1.09	0.929	1.05	0.960	1.03
	1.09	4.33	1.89	3.87	2.32	3.52	2.60	3.31	2.77	3.18	2.86	2.11
U_t - Wand.	0.9964	1.0106	0.9824	1.0244	0.9691	1.0370	0.9573	1.0479	0.9474	1.0567	0.9399	1.0628
	2.9944	3.0168	2.9722	3.0385	2.9510	3.0590	2.9315	3.0774	2.9144	3.0931	2.9002	3.1056

Para o caso em que $\ddot{U}_0 = \{0 \ 0\}^T$, observou-se uma não concordância entre os resultados apresentados no livro e aqueles obtidos numericamente. Essa discrepância decorre do fato de que a referência considera apenas a condição inicial sem definir um passo de tempo, enquanto a implementação numérica integra a equação ao longo de um intervalo de $\Delta t = 28 \text{ s}$.

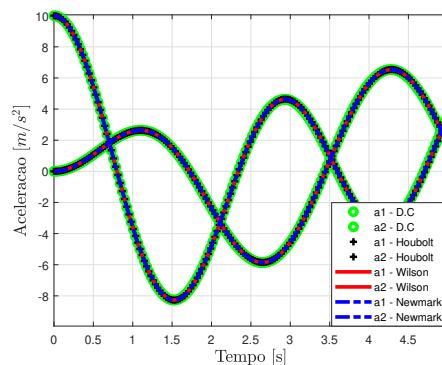
Os gráficos da Figura 1.2 apresentam o deslocamento, a velocidade e a aceleração dos dois graus de liberdade do sistema, considerando as condições iniciais, e comparando os métodos da diferença central, Houbolt, Wilson- θ e Newmark, para $\Delta t = 0.028$ s. Observa-se que, para um passo de tempo suficientemente pequeno, todos os quatro métodos apresentam convergência consistente, produzindo respostas praticamente coincidentes no intervalo de tempo de 0 a 5 segundos.



(a) Deslocamento.



(b) Velocidade.



(c) Aceleração.

Figura 1.2: Respostas do sistema no domínio do tempo $\Delta t = 0.028$ s.

1.5 Rotina em Matlab

```
function [u_t,v_t,a_t] = Newmark(K,M,C,R0,u0,v0,acel_0,Delta_t, t0,tf
,delta,alpha)

%% === Entradas ===
%% K      -> Matriz de rigidez
%% M      -> Matriz de Massa
%% C      -> Matriz de amortecimento
%% R0     -> Vetor de carga
%% u0     -> Deslocamento inicial
%% v0     -> velocidade inicial
%% acel_0 -> aceleracao inicial
%% Delta_t -> Discretizacao do tempo
```

```

%% t0      -> Tempo inicial
%% tf      -> Tempo final
%% delta   -> constante (>= 0.5)
%% alpha   -> constante
%% == Sidas ==
%% u_t     -> Deslocamento no tempo
%% v_t     -> velocidade no tempo
%% a_t     -> aceleracao no tempo

%% == Vetor tempo ==
t = t0:Delta_t:tf;
%% Caculo da constante alpha
% Verificacao dos parametros Newmark
if delta < 0.5
    error('delta deve ser maior do que 0.5 !')
elseif alpha < 0.25 * (0.5 + delta)^2
    error('alpha deve ser maior do que 0.25 * (0.5 + delta)^2 !')
end

%% Calculo das constantes iniciais
a0 = 1/(alpha * Delta_t^2); a1 = delta/(alpha * Delta_t); a2 =
    1/(alpha * Delta_t);
a3 = 1/(2* alpha) - 1; a4 = delta/alpha -1 ; a5 = Delta_t/2 * (
    delta/alpha-2);
a6 = Delta_t * (1 - delta);
a7 = delta * Delta_t;

%% Matriz de rigidez efetiva, nomeada K_e
K_e = K + a0*M + a1*C;

%% Triangulizacao da matriz efetiva
[L,D,~] = ldl(K_e);
K_e = L*D*L';

%% Alocao de memoria
R_t = zeros(size(R0,1),length(t));
a_t = zeros(size(accel_0,1),length(t));
v_t = zeros(size(v0,1),length(t));
u_t = zeros(size(u0,1),length(t));

```



```

%% para o instante t = 0, recebe os valores iniciais
u_t(1:size(u0,1),1) = u0;
v_t(1:size(v0,1),1) = v0;
a_t(1:size(accel_0,1),1) = accel_0;

%% Loop temporal
for i = 1 :length(t)-1

%% Vetor da forca no instante t + Deltat

    R_t(:,i + 1) = R0(:,i + 1) + M * (a0 * u_t(:, i) + a2 * v_t(:,i)
        ) + a3 * a_t(:,i))...
        + C* (a1 * u_t(:,i) + a4 * v_t(:,i) + a5 * a_t(:,1));
%% Vetor do deslocamento no instante t + Delta_t
    u_t(:,i + 1) = K_e\R_t(:,i + 1);

%% Calculo da velocidade e aceleracao em t + delta_t
a_t(:,i + 1) = a0 * (u_t(:,i + 1) - u_t(:,i)) - a2 * v_t(:,i) -
    a3 * a_t(:,i);
v_t(:,i + 1) = v_t(:,i) + a6 * a_t(:,i) + a7 * a_t(:,i + 1);

end

%% ===== Referencias =====

%% Bathe, K.-J.; Wilson, E. L. Numerical Methods in Finite
    Element Analysis.
%% Prentice-Hall Civil Engineering and Engineering Mechanics
    Series, 1976.
%% ISBN: 0-13-627190-1.

end
end

```

2 Conclusão

A implementação do método de Newmark para o sistema estudado mostrou-se consistente com os resultados de referência apresentados por (BATHE; WILSON, 1976). Para pequenos passos de tempo, como $\Delta t = 0.28 \text{ s}$, os deslocamentos obtidos pelo script em MATLAB concordam com os valores do livro, com diferenças apenas na quarta casa decimal, indicando alta precisão da implementação.

Ao aumentar o passo de tempo para $\Delta t = 28.0 \text{ s}$, a rotina continua reproduzindo o comportamento esperado do sistema, confirmando a estabilidade do método mesmo para intervalos maiores, embora a precisão diminua ligeiramente, conforme esperado.

A alteração das condições iniciais, assumindo $\ddot{\mathbf{U}}_0 = \{0 \ 0\}^T$, evidenciou que a discrepância entre os resultados numéricos e a referência se deve à ausência de definição de passo de tempo no livro.

Além disso, a análise apresentada na Figura 1.2 mostra que, para $\Delta t = 0.028 \text{ s}$, os métodos da diferença central, Houbolt, Wilson- θ e Newmark fornecem respostas praticamente coincidentes para deslocamento, velocidade e aceleração no intervalo de 0 a 5 segundos. Isso evidencia que, para passos de tempo suficientemente pequenos, todos os métodos convergem, tornando a escolha do método menos crítica. Entretanto, para passos maiores, a estabilidade e precisão podem variar significativamente, reforçando a importância da escolha adequada do Δt em simulações dinâmicas.

Em síntese, o método de Newmark implementado provou-se eficiente, estável e capaz de fornecer resultados confiáveis para diferentes condições iniciais e passos de tempo.

Referências

BATHE, K.-J.; WILSON, E. L. *Numerical Methods in Finite Element Analysis*. [S.l.]: Prentice-Hall, 1976. (Civil Engineering and Engineering Mechanics Series). ISBN 0-13-627190-1.